

DAFTAR PUSTAKA

- Abdul Salam Munir. (2018). Kestabilan Lereng Menggunakan Program Slope/W Pada Pit Gn-10 Pulau Gag Kabupaten Raja Ampat Papua Barat. *Jurnal Geomine*, 6(3), 157.
- Akbar, N. (2020). Analisis Kestabilan Lereng Metode Q-Slope , Keseimbangan Batas. *October*, 689–702.
- Arif, Irwandy. (2021). *Geoteknik tambang: Mewujudkan produksi tambang yang berkelanjutan dengan menjaga kestabilan lereng (Edisi kedua)*. Jakarta: PT. Gramedia Pustaka Utama.
- Azizi, M. A., & Handayani, H. E. (2011). Karakterisasi Parameter Masukan Untuk Analisis Tambang Batubara Bukit Asam Tbk . *Tanjung Enim ,AVoER*, 3, 26–27.
- Bowles, J. E., & Hainim, J. K. (1984). *Sifat-sifat Fisis dan Geoteknis Tanah (Mekanika Tanah) (Edisi 2)*. Jakarta : Erlangga, 1986.
- Bria, K., & Isjudarto, A. (2017). Analisis Kestabilan Lereng Pada Tambang Batubara Terbuka Pit D Selatan Pt . *Artha Niaga Cakrabuana Job Site Cv . Prima Mandiri Desa Provinsi Kalimantan Timur*.
- Das, B.M. 2010. *Principles of Geotechnical Engineering, 7thEdition*. Stamford: Cengage Learning.
- Fanani, Y., Astuti, A. D., & Paki, A. K. (2021). Analisis Kestabilan Lereng Tambang Cv. Mutiara Timur Berdasarkan Faktor Keamanan. *Prosiding Seminar Teknologi Kebumihan Dan Kelautan*, 3(1), 277–282.
- Hardiyatmo, H. C. (2002). *Mekanika Tanah I (Ketiga)*. Gadjah Mada University Press.
- Herlambang, R. S., Si, S., & Wijaksana, K. (2020). Analisis Kestabilan Lereng Disposal Di Tambang Terbuka Nikel Kabupaten. *Jurnal Geomine*, 6.
- Hoek, E., & Bray, J. D. (1981). *Rock Slope Engineering*. In *Rock Slope Engineering (3rd Ed)*. INSTITUTION OF MINING AND METALLURGY.
- & Brown, E. T. (2019). The Hoek–Brown failure criterion and GSI–2018 edition. *Journal of Rock Mechanics and Geotechnical Engineering*, 1(3), 445–463.



- Hoek, E., Torres C.C., and Corkum, B., 2002, Hoek-Brown Failure Criterion, Mining Innovation and Technology, University of Toronto, pp. 267-273.
- Maerz, N.H., 2000. Highway Rock Cut Stability Assesment in Rock Masses Not Conducive to Stability Calculations, Proceedings of the 51st Annual Highway Geology Symposium, Seattle, Washington, Augustus 29 - September 1, 2000. pp. 249-259.
- Read, J. Peter, S. 2010. Open Pit Slope Design. Canberra: CSIRO.
- KEPMEN ESDM. (2018). Pedoman Pelaksanaan Kaidah Teknik Pertambangan Yang Baik. 370.
- Kurniadi, A., Rosana, M. F., & Yuningsih, E. T. (2018). Karakteristik Batuan Asal Pembentukan Endapan Nikel Laterit Di Daerah Madang dan Serakan Tengah. Padjadjaran Geoscience Journal, 02(03), 221–234.
- Raivel, R., & Firman, F. (2021). Eksplorasi Endapan Nikel Laterit Area IUP PT. Putra Mekongga Sejahtera Daerah Pomalaa Kabupaten Kolaka Provinsi Sulawesi Tenggara. Raivel Raivel Dan Firman Firman/Jurnal GEOMining, 2(1), 11–23.
- Rosari, A. A., & Arsyad, M. (2018). Analisis Sifat Fisis Dan Sifat Mekanik Batuan Karst Maros. Jurnal Sains Dan Pendidikan Fisika, 13(3), 276–281.
- Sutisna, D. T., Sunuhadi, D. N., Pujobroto, A., & Herman, D. Z. (2006). Perencanaan Eksplorasi Cebakan Nikel Laterit di Daerah Wayamli, Teluk Buli, Halmahera Timur sebagai Model Perencanaan Eksplorasi Cebakan Nikel Laterit di Indonesia. Buletin Sumber Daya Geologi, 1(3), 48–56.
- Syafar, Z. (2017). Analisis Kestabilan Lereng Dengan Metode Bishop Pada Penabangan Nikel. Jurnal Geomine, 4(3), 90–93.
- Tibri, T., Onwardana, M. E., Ardiansyah, E., Nurul, D., & Siregar, I. (2017). Kajian Awal Geoteknik Untuk Rekomendasi Rancangan Geometri Lereng Tambang. Prosiding Seminar Nasional “Gempa Sumatera Utara: Resiko Dan Antisipasinya,” 1(May), 113.



LAMPIRAN



Lampiran 1 (Parameter Nilai Sifat Fisik dan Mekanik)

F-LP-413.3 Rev.0

Lampiran sertifikat Nomor : 1236/LGM/X/2022

Hasil Analisis :

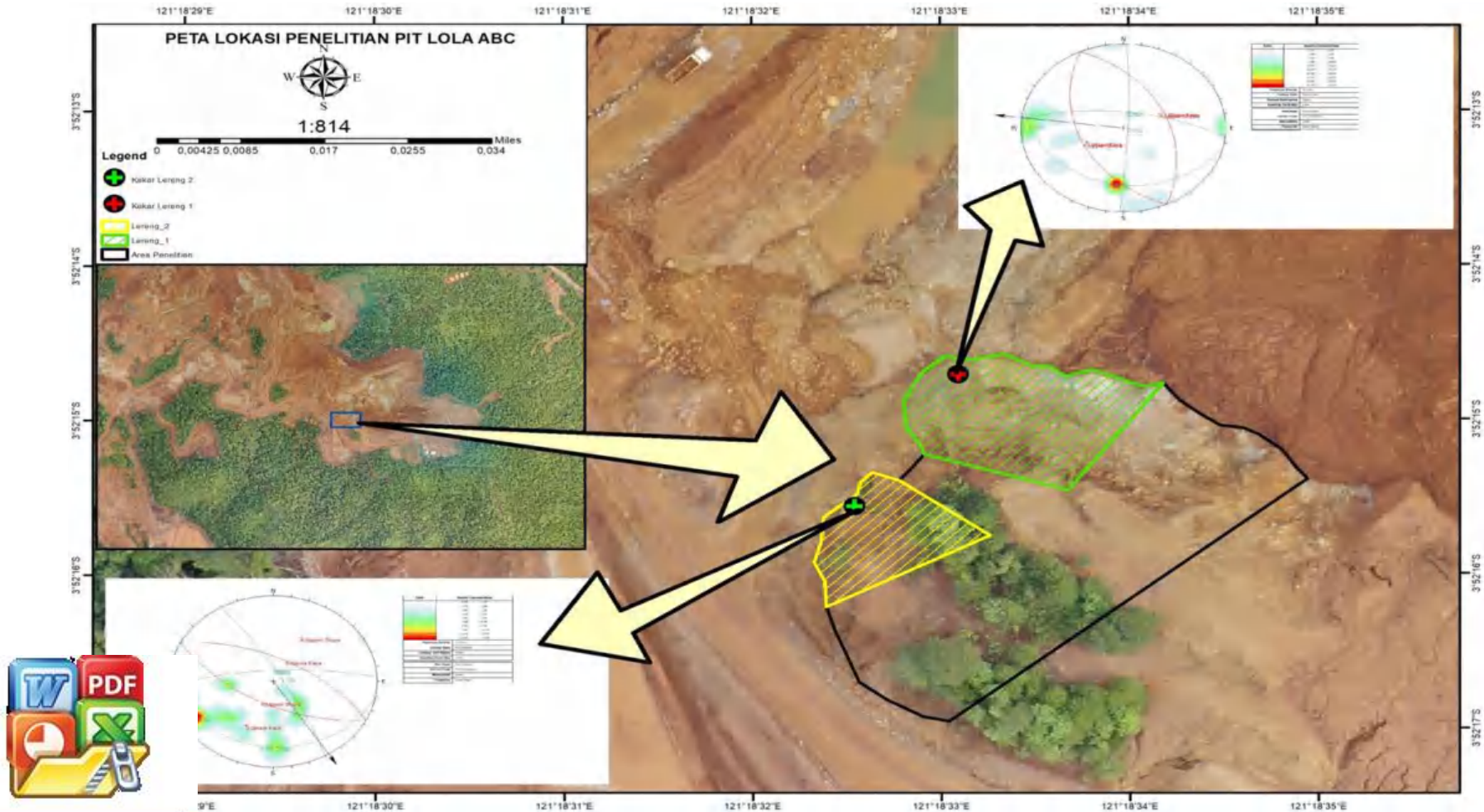
Testing Result		Geomechanics Laboratory			
Sampel Code		XQ002	XQ002	XQ002	XQ003
Depth		19,63 - 19,84	34,64 - 34,82	40,73 - 40,94	20,00 - 20,22
<i>physical characteristic</i>					
- Natural Density	(gr/cc)	3.10	3.18	3.12	3.03
- Saturated Density	(gr/cc)	3.11	3.20	3.13	3.05
- Dry Density	(gr/cc)	3.08	3.17	3.11	3.02
- App. S.G	-	3.08	3.17	3.11	3.02
- True S.G	-	3.16	3.26	3.17	3.10
- Natural Water Content	(%)	0.46	0.23	0.35	0.37
- Saturated Water Content (Absorption)	(%)	0.81	0.83	0.63	0.88
- Degree of Saturation	(%)	47.25	27.67	57.58	39.11
- Porosity	(%)	2.48	2.62	1.97	2.65
- Void Ratio	-	0.03	0.03	0.02	0.03
<i>mechanics characteristic</i>					
- Unconfined Comp. Strength	σ_c (kg/cm ²)	458.92	1108.22	318.46	900.72
	E (kg/cm ²)	139010.84	506125.21	145754.92	241815.48
	μ	0.28	0.27	0.30	0.30

Testing Result		Geomechanics Laboratory			
Sampel Code		XQ003	XQ004	XQ004	XQ004
Depth		37,19 - 37,42	30,52 - 30,83	36,80 - 37,00	38,59 - 38,76
<i>physical characteristic</i>					
- Natural Density	(gr/cc)	3.17	2.99	3.13	3.17
- Saturated Density	(gr/cc)	3.18	3.00	3.14	3.19
- Dry Density	(gr/cc)	3.16	2.98	3.12	3.16
- App. S.G	-	3.16	2.98	3.12	3.16
- True S.G	-	2.23	3.05	3.18	3.24
- Natural Water Content	(%)	0.42	0.38	0.24	0.44
- Saturated Water Content (Absorption)	(%)	0.69	0.79	0.63	0.78
- Degree of Saturation	(%)	63.16	40.09	39.02	56.94
- Porosity	(%)	2.17	2.34	1.95	2.46
- Void Ratio	-	0.02	0.02	0.02	0.03
<i>mechanics characteristic</i>					
- Unconfined Comp. Strength	σ_c (kg/cm ²)	1386.97	530.31	995.74	629.61
	E (kg/cm ²)	300108.67	220952.15	421454.51	117321.39
	μ	0.20	0.29	0.28	0.29

2 dari 3

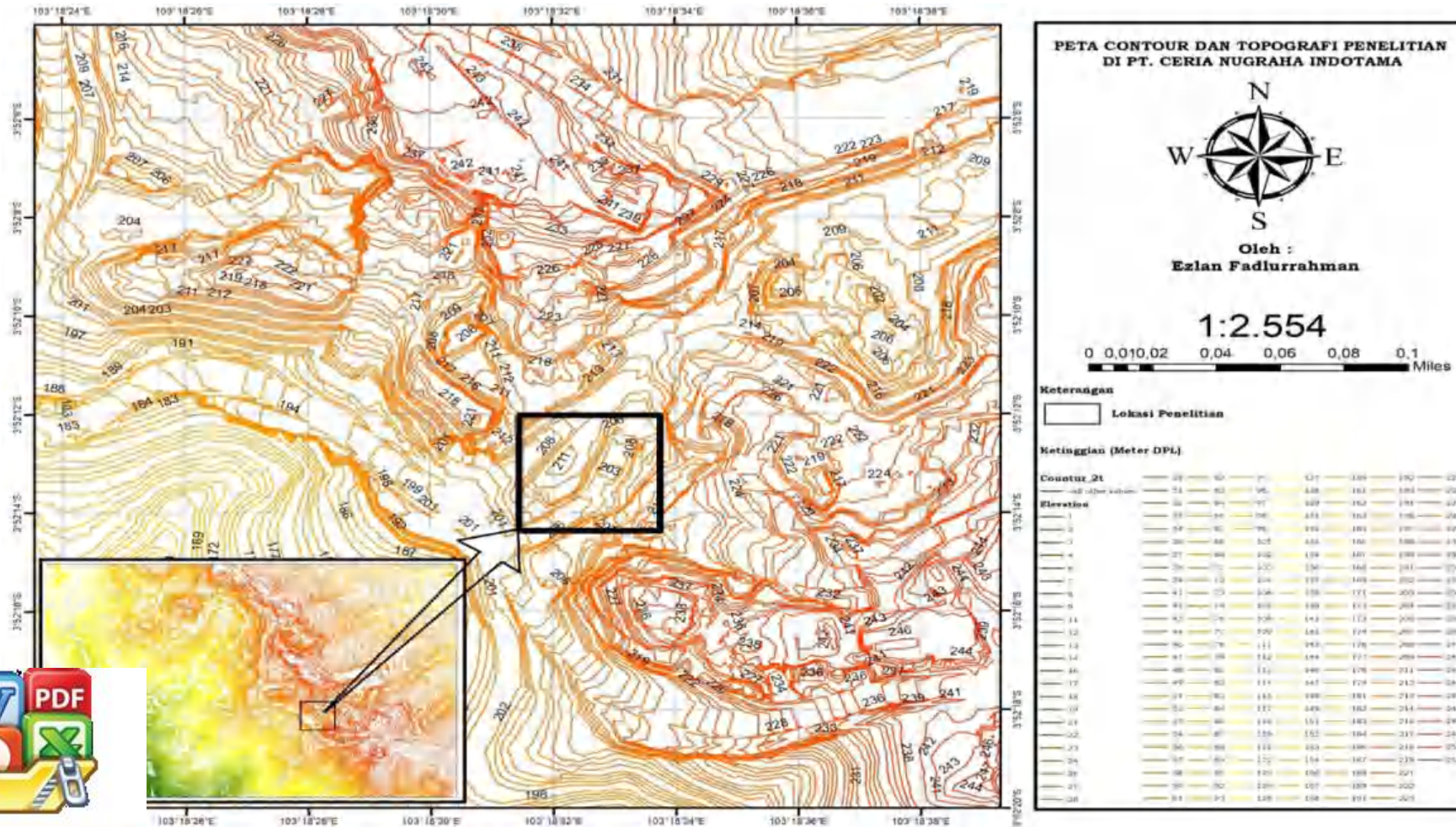


Lampiran 2 (Peta lokasi penelitian pit Lola ABC)



Optimized using
trial version
www.balesio.com

Lampiran 3 (Peta Contour dan Topografi Penelitian pit LOLA ABC)



Optimized using trial version www.balesio.com